

论 著

基于ADC值变化量评估 宫颈癌放化疗预后的价值

张庆 李云 熊浩
彭婕*

长江大学附属第一医院荆州市第一人民医院放射影像科 (湖北荆州 434000)

【摘要】目的 回顾性分析表观扩散系数(apparent diffusion coefficient,ADC)评估原发性宫颈癌同步放化疗(concurrent chemoradiotherapy, CCRT)预后的价值。**方法** COX回归分析肿瘤患者临床病理性质及不同ADC值与无病生存期(Disease-free survival,DFS)的关系,受试者工作特征曲线(receiver operator characteristic curve,ROC)确定危险因素的最佳截断值,比较不同危险因素下DFS的差异。**结果** 单因素分析显示治疗前ADC值、 Δ ADC%是肿瘤进展的危险因素($P=0.015, P=0.005$),多因素分析显示只有 Δ ADC%是肿瘤进展的高危因素($P=0.048$),ROC曲线示最佳截断值为0.358(曲线下面积为0.847,敏感度为83.3%,特异度为75.9%),Kaplan-Meier曲线显示 Δ ADC% <0.358 的DFS显著低于 >0.358 的患者($P=0.012$)。**结论** Δ ADC%可能是宫颈癌同步放化疗患者疾病进展与生存的有用预测指标。

【关键词】 宫颈癌;磁共振成像;表观扩散系数;预后

【中图分类号】 R445.2

【文献标识码】 A

DOI:10.3969/j.issn.1672-5131.2023.06.040

Prognostic of Cervical Cancer after Chemoradiotherapy Based on ADC Value Change

ZHANG Qing, LI Yun, XIONG Hao, PENG Jie*

Jingzhou No 1 People's Hospital and First Affiliated Hospital of Yangtze University, Jingzhou 434000, Hubei Province, China

ABSTRACT

Objective To retrospectively analyze the value of apparent diffusion coefficient (ADC) in evaluating the prognosis of primary cervical cancer after concurrent chemoradiotherapy (CCRT). **Methods** Independent predictors were identified using cox regression analysis for clinicopathological factors and ADC values. Receiver operator characteristic curve (ROC) was used to determine the optimal cut-off value of risk factors. Disease-free survival (DFS) was compared by Kaplan-Meier analysis. **Results** Univariate analysis showed that preADC value and Δ ADC% were risk factors for tumor progression ($P=0.015, P=0.005$). Multivariate analysis showed that Δ ADC% was the only risk factor for tumor progression ($P=0.048$). ROC curve showed that the best cut-off value was 0.358 (area under the curve was 0.847, sensitivity was 83.3%, specificity was 75.9%). Kaplan-meier curve showed that the DFS of patients with Δ ADC% <0.358 was significantly lower than that of patients with Δ ADC% >0.358 ($P=0.012$). **Conclusion** The Δ ADC% is a potential predictive factor of disease progression or survival in patients with cervical cancer undergoing concurrent chemoradiotherapy.

Keywords: Cervical Cancer; Magnetic Resonance Imaging; Apparent Diffusion Coefficient, Prognosis

宫颈癌已成为全球发病率最高的妇科生殖道恶性肿瘤,在中国女性中,其发病率亦呈持续上升趋势^[1]。同步放化疗(concurrent chemoradiotherapy, CCRT)^[2-3]是宫颈癌的有效治疗方法,但是即使接受CCRT,患者仍然面临着转移及复发的高风险,且由于肿瘤的异质性^[4],并不是所有的肿瘤都对同步放化疗敏感。据报道^[5],全球宫颈癌复发率约为20-30%。鉴于宫颈癌高复发率及死亡率,对于宫颈癌疗效的早期评估和预测显得至关重要。弥散加权成像(diffusion-weighted imaging, DWI)是一种功能成像技术,表观弥散系数(apparent diffusion coefficient, ADC)能够量化水分子弥散受限的程度。国内外研究显示^[6-9], DWI序列及ADC值有助于宫颈癌的诊断及疗效的评价。本研究主要探索宫颈癌的不同ADC值与其放疗后预后生存的相关性。

1 资料与方法

1.1 患者资料 回顾性分析2016年1月至2019年8月于我院接受同步放化疗且有完整MRI及随访资料的患者。

纳入标准: 经病理证实为原发性宫颈癌;于我院同步放化疗治疗,且同步放化疗前、四周后均于我科室行MRI扫描。排除标准:之前有宫颈癌手术或放化疗史;随访资料不完善者。纳入76名患者,年龄32-70岁,平均(53.6 \pm 5.5)岁。上述所有受检者均无MRI禁忌症。同时通过我院病历系统记录患者临床病理性质,患者前两年每3或6各月随访一次,以后每年随访一次。随访终点为无病生存期(Disease-free survival, DFS), DFS被定义为从放化疗开始到临床进展或因任何原因死亡的时间。本研究获得长江大学附属第一医院伦理委员会批准,免除受试者知情同意(20220829)。

1.2 MRI扫描方案 分别于放疗前、放疗后四周运用飞利浦3.0 T MR(InteraAchievaTX)仪及18通道体部相控阵线圈进行盆腔扫描。扫描范围为髂骨翼上缘至耻骨联合水平。扫描序列及参数:常规T₂WI轴位,抑脂-T₂WI,矢状位、冠状位T₂WI,高分辨T₂WI, DWI轴位。采用梯度回波序列行DWI($b=50s/mm^2, 800s/mm^2$),轴位扫描, TR 4.154ms, TE 2.20ms, 矩阵154 \times 192, 层厚5.5mm, 层间距1.0mm, 视野260mm \times 260mm。

1.3 图像分析 由2名腹部组中高年资影像诊断医师在Extended MR Workplace工作站上通过Functool软件重建出ADC图(图1)。在不知晓肿瘤临床与病理信息的情况下,2名诊断医师人工勾画出肿瘤感兴趣区(region of interest, ROI)。ROI的大小尽可能地全部覆盖该层面肿瘤区域,采用Functool的像素分析软件测量病灶每个ROI的ADC值,求其平均值。 Δ ADC%定义为:(治疗后ADC-治疗前ADC)/治疗前ADC。在T₂WI轴位、冠状位或矢状位上比较得出肿瘤的最大直径。

1.4 统计学方法 应用SPSS(Statistic Package for Social Science)21.0软件统计包对数据进行分析,数据正态性检验采用单样本正态分布检验。单因素COX回归分析用于评估临床和影像资料(包括年龄、病理类型、FIGO分期^[10]、淋巴结状态、治疗前肿瘤长径、治疗前ADC值、治疗后ADC值、 Δ ADC%)与肿瘤预后的关系, P 值 <0.05 时进一步使用多因素COX回归分析筛选出肿瘤预后的独立危险因素。受试者工作特征曲线(receiver operator characteristic curve, ROC)确定危险因素的最佳截断值,采用Kaplan-Meier法

【第一作者】 张庆,男,主治医师,主要研究方向:腹部影像诊断。E-mail: zq672089068@126.com

【通讯作者】 彭婕,女,主任医师,主要研究方向:腹部影像诊断。E-mail: pengjie-77@163.com

对DFS进行生存分析, log-rank检验用于比较患者生存曲线之间的差异。

2 结果

2.1 病人特征及随访结果 患者及肿瘤特征见表1。患者的平均随访时间为35个月(范围12-60个月)。3例(4%)患者在放疗后18个月、20个月和24个月发生肿瘤相关死亡。复发15例(20%), 局部复发7例, 局部复发伴远处转移者5, 仅远处转移3例。1年和3年的DFS率分别为97%和81%(图2A)。

2.2 危险因素与肿瘤预后的关系 宫颈癌危险因素与肿瘤患者预后的关系见表2。单因素分析显示治疗前ADC值、 Δ ADC%是肿瘤进展的危险因素($P=0.015$, $P=0.005$)。多因素分析显示只有 Δ ADC%是肿瘤进展的高危因素($P=0.048$)。ROC曲线显示最佳截断值为0.358(曲线下面积为0.847, 敏感度为83.3%, 特异度为75.9%), Kaplan-Meier曲线显示 Δ ADC% <0.358 的DFS显著低于 >0.358 患者($P=0.012$)(图2B)。

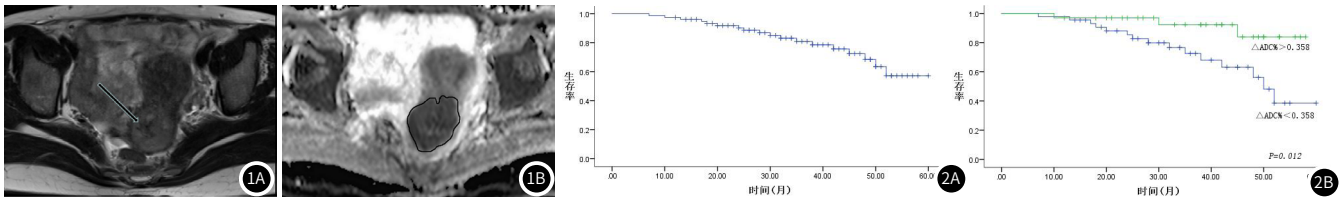


图1 肿瘤MRI图像。注: 图1A: 原发肿瘤T₂WI, 病灶呈稍长T₂信号。图1B: 原发肿瘤ADC图, ADC值为 $0.928 \times 10^{-3} \text{mm}^2/\text{s}$ 。图2 患者DFS曲线。注: 图2A: 所有肿瘤患者DFS曲线。图2B: Δ ADC% <0.358 、 Δ ADC% >0.358 患者DFS曲线, log-rank检验 $P=0.012$ 。

表1 患者及肿瘤特征

	进展(n=18)	无进展(n=58)
年龄(岁)	54.8 \pm 4.6	52.7 \pm 5.7
病理类型	鳞癌	53
	腺癌及其它	5
FIGO 分期	I	6
	II	31
	III	18
	IV	3
淋巴结		
	阳性	11
	阴性	47
病灶长径(cm)	4.661 \pm 0.426	4.579 \pm 0.457
治疗前ADC($10^{-3}\text{mm}^2/\text{s}$)	0.948 \pm 0.030	0.906 \pm 0.068
治疗后ADC($10^{-3}\text{mm}^2/\text{s}$)	1.225 \pm 0.029	0.377 \pm 0.115
Δ ADC%	0.293 \pm 0.057	0.377 \pm 0.115

注: Δ ADC%=(治疗后ADC-治疗前ADC)/ 治疗前ADC。

表2 患者危险因素COX回归分析

	单因素分析		多因素分析	
	HR(95% CI)	P值	HR(95% CI)	P值
年龄	1.066(0.982-1.158)	0.127		
病理类型	2.022(0.584-7.088)	0.267		
FIGO分期	1.758(0.944-3.275)	0.075		
淋巴结阳性	0.508(0.189-1.368)	0.180		
病灶长径	1.471(0.482-4.492)	0.498		
治疗前ADC	2.849(0.881-2.230)	0.015*	0.005(0.000-1.167)	0.580
治疗后ADC	0.640(0.001-1.337)	0.056		
Δ ADC%	0.820(0.560-1.053)	0.005*	0.752(0.645-1.504)	0.048*

注: *表示差异具有统计学意义, Δ ADC%=(治疗后ADC-治疗前ADC)/ 治疗前ADC。

3 讨论

宫颈癌常用的预后因素包括肿瘤的大小、病理类型、淋巴结转移和FIGO分期等^[11-13],但这些形态病理学特征并不能充分并全面地预测肿瘤患者的预后。DWI能在常规形态学改变之前量化治疗引起的肿瘤内部变化^[14-15],适用于肿瘤治疗后的长期随访,可用于宫颈癌放疗疗效的评估及肿瘤复发或进展的监测。本研究结果显示, Δ ADC%是影响宫颈癌放疗后DFS的独立危险因素, Δ ADC%较大的患者具有更高的DFS。患者临床病理性质与DFS无关,可能和样本及研究终点的选取有关,也可能说明相较于临床病理性质,能够反应放疗过程中细胞分子动态变化过程的ADC变化量与肿瘤的预后及生存关系更为密切。

有效地放疗能够杀死肿瘤细胞和降低肿瘤细胞的活性,导致肿瘤组织水分子弥散特性的改变。因此,肿瘤放疗前后ADC值的改变量可以用来反应肿瘤组织对放疗的敏感性。ADC值改变量越大,说明肿瘤组织对放疗越敏感,治疗效果越好,拥有较高的无病生存期。我们的结果很好的印证了这一观点,ADC变化量是影响宫颈癌放疗后DFS的独立危险因素,且ADC变化量较大的患者拥有相对更高的DFS。与我们的研究结果类似,基于放疗后,Somoye等^[16]的研究表明存活组患者的ADC变化量显著高于死亡组, Park等^[17]的结果显示ADC变化量是宫颈癌疾病进展的独立预测因子, Gu等^[18]报道ADC变化量是宫颈癌无进展生存期(PFS)的独立影响因子, Onal等^[19]的研究显示ADC变化量是宫

颈癌总生存期(Overall survival, OS)的预测因子。与我们的结果一致, Yui等^[20]的研究表明ADC变化量是宫颈癌复发的独立预测因子,而且ADC变化量较低的患者具有较差的无病生存期,但是他们的研究对象为部分患者接受放疗,少部分接受放疗的混合治疗,而我们的研究对象均为同步放疗,因此我们的研究更具说服力。

宫颈癌放疗前ADC值与肿瘤预后的关系存在较大争议,目前尚无明确的定论。以前的研究观点认为^[21-24],放疗前ADC均值是宫颈癌DFS的独立预测因素。然而近些年的大部分研究显示,放疗前ADC均值与宫颈癌的预后无关^[25-30],而部分放疗前其他ADC值可能与肿瘤患者预后相关。Heo等^[25]认为ADC75是肿瘤复发的预测因子, Adam等^[26]认为ADC95是宫颈癌DFS的独立预测因素, Daniel等^[27]认为ADC最小值可能是宫颈癌DFS的相关预测因素, Shih等^[28]和 Qin等^[29]认为ADC最小值是宫颈癌PFS的独立预测因子。我们的结果与近些年的研究一致,放疗前ADC均值并不能预测宫颈癌的预后和生存状态。关于放疗前ADC值与患者预后及生存的关系还待进一步研究。

本研究具有几点局限性。第一,本文为回顾性研究,且从病历系统获取信息,难免会产生偏倚。第二,由于本研究的样本量相对较小,且为单中心研究,因此需要更大样本的多中心结果进行验证。

总结,我们的研究结果表明,ADC变化量可能是宫颈癌同步放疗过程中疾病进展与生存的有效预测指标,可能作为宫颈癌预后评估与预测的早期影像标记物。

参考文献

- [1] 国家癌症中心, 国家肿瘤质控中心宫颈癌质控专家委员会. 中国宫颈癌规范诊疗质量控制指标(2022版)[J]. 中华肿瘤杂志, 2022, 44(7): 615-622.
- [2] Mayadev J, Nunes AT, Li M, et al. CALLA: Efficacy and safety of concurrent adjuvant durvalumab with chemoradiotherapy versus chemoradiotherapy alone in women with locally advanced cervical cancer: a phase III, randomized, double-blind, multicenter study[J]. In t J Gynecol Cancer, 2020, 30(7): 1065-1070.
- [3] Pötter R, Tanderup K, Schmid MP, et al. MRI-guided adaptive brachytherapy in locally advanced cervical cancer (EMBRACE-1): a multicentre prospective cohort study[J]. Lancet Oncol, 2021, 22(4): 538-547.
- [4] Chen J, Chen C, Zhan Y, et al. Heterogeneity of IFN-Mediated Responses and Tumor Immunogenicity in Patients with Cervical Cancer Receiving Concurrent Chemoradiotherapy[J]. Clin Cancer Res, 2021, 27(14): 3990-4002.
- [5] Yoshida K, Kajiyama H, Utsumi F, et al. A post-recurrence survival-

predicting indicator for cervical cancer from the analysis of 165 patients who developed recurrence[J]. *Mol Clin Oncol*, 2018, 8(2): 281-285.

[6] 柳丽, 何悦明, 杨振涛, 等. MRI扩散加权成像及其定量参数在宫颈癌的诊断和术前分期中的应用[J]. *中国CT和MRI杂志*, 2023, 21(3): 124-126.

[7] Addley H, Moyle P, Freeman S. Diffusion-weighted imaging in gynaecological malignancy[J]. *Clin Radio* 1, 2017, 72(11): 981-990.

[8] 廖俊杰, 王乐富, 刘永志, 等. 磁共振平扫联合扩散加权成像对宫颈癌术前分期的诊断价值临床研究[J]. *中国CT和MRI杂志*, 2021, 19(5): 86-88.

[9] 李海蛟, 曹 崑, 郑虹, 等. 多序列MRI纹理分析预测宫颈癌新辅助化疗治疗疗效[J]. *中国医学影像技术*, 2020, 36(8): 1215-1219.

[10] Bhatla N, Be rek JS, Cue llo Frede s M, et al. Revised FIGO staging for carcinoma of the cervix uteri[J]. *Int J Gynaeco l Obstet*, 2019, 145(1): 129-135.

[11] Liu T, Kong W, Liu Y, et al. Efficacy and prognostic factors of concurrent chemoradiotherapy in patients with stage Ib3 and IIa2 cervical cancer[J]. *Ginekol Pol*, 2020, 91(2): 57-61.

[12] Pan S, Jiang W, Xie S, et al. Clinicopathological Features and Survival of Adolescent and Young Adults with Cervical Cancer[J]. *Cancer Control*, 2021, 28(1): 1-11.

[13] 易芹芹, 周宙, 罗燕, 等. 基于术前MRI影像组学及临床特征的早期宫颈癌中危因素预测模型构建[J]. *磁共振成像*, 2022, 13(4): 124-127.

[14] Thoeny HC, Ross BD. Predicting and monitoring cancer treatment response with diffusion-weighted MRI[J]. *J Magn Reson Imaging*, 2010, 32(1): 2-16.

[15] Harry VN, Semple SI, Parkin DE, et al. Use of new imaging techniques to predict tumour response to therapy[J]. *Lancet Oncol*, 2010, 11(1): 92-102.

[16] Somoye G, Harry V, Semp le S, et al. Early diffusion weighted magnetic resonance imaging can predict survival in women with locally advanced cancer of the cervix treated with combined chemo-radiation[J]. *Eur Radiol*, 2012, 22(11): 2319-2327.

[17] Park JJ, Kim CK, Park BK. Prognostic value of diffusion-weighted magnetic resonance imaging and 18F-fluorodeoxyglucose-positron emission tomography/computed tomography after concurrent chemoradiotherapy in uterine cervical cancer[J]. *Radiother Oncol*, 2016, 120(3): 507-511.

[18] Gu KW, Kim CK, Choi CH, et al. Prognostic value of ADC quantification for clinical outcome in uterine cervical cancer treated with concurrent chemoradiotherapy[J]. *Eur Radiol*, 2019, 29(11): 6236-6244.

[19] Onal C, Erbay G, Guler OC. Treatment response evaluation using the mean apparent diffusion coefficient in cervical cancer patients treated with definitive chemoradiotherapy[J]. *J Magn Reson Imaging*, 2016, 44(4): 1010-1019.

[20] Watanabe Y, Nakamura S, Ichikawa Y, et al. Early alteration in apparent

diffusion coefficient and tumor volume in cervical cancer treated with chemoradiotherapy or radiotherapy: Incremental prognostic value over pretreatment assessments[J]. *Radiother Oncol*, 2021, 155(1): 3-9.

[21] Nakamura K, Joja I, Nagasaka T, et al. The mean apparent diffusion coefficient value (ADCmean) on primary cervical cancer is a predictive marker for disease recurrence[J]. *Gynecol Oncol*, 2012, 127(3): 478-483.

[22] Heo SH, Shin SS, Kim JW, et al. Pre-treatment diffusion-weighted MR imaging for predicting tumor recurrence in uterine cervical cancer treated with concurrent chemoradiation: value of histogram analysis of apparent diffusion coefficients[J]. *Korean J Radio l*, 2013, 14(4): 616-625.

[23] Micc ò M, Vargas HA, Burger IA, et al. Combined pre-treatment MRI and 18F-FDG PET/CT parameters as prognostic biomarkers in patients with cervical cancer[J]. *Eur J Radiol*, 2014, 83(7): 1169-1176.

[24] Ho JC, Allen PK, Bhosal e PR, et al. Diffusion-Weighted Magnetic Resonance Imaging as a Predictor of Outcome in Cervical Cancer After Chemoradiation[J]. *Int J Radiat Oncol Biol Phys*, 2017, 97(3): 546-553.

[25] Heo SH, Shin SS, Kim JW, et al. Pre-treatment diffusion-weighted MR imaging for predicting tumor recurrence in uterine cervical cancer treated with concurrent chemoradiation: value of histogram analysis of apparent diffusion coefficients[J]. *Korean J Radio l*, 2013, 14(4): 616-625.

[26] Gladwish A, Milosevic M, Fyles A, et al. Association of Apparent Diffusion Coefficient with Disease Recurrence in Patients with Locally Advanced Cervical Cancer Treated with Radical Chemotherapy and Radiation Therapy[J]. *Radiology*, 2016, 279(1): 158-166.

[27] Marconi DG, Fregnani JH, Rossini RR, et al. Pre-treatment MRI minimum apparent diffusion coefficient value is a potential prognostic imaging biomarker in cervical cancer patients treated with definitive chemoradiation[J]. *BMC Cancer*, 2016, 16(1): 1-9.

[28] Shih IL, Yen RF, Chen CA, et al. PET/MRI in Cervical Cancer: Associations Between Imaging Biomarkers and Tumor Stage, Disease Progression, and Overall Survival[J]. *J Magn Reson Imaging*, 2021, 53(1): 305-318.

[29] Qin F, Pang H, Ma J, et al. Combined dynamic contrast enhanced MRI parameter with clinical factors predict the survival of concurrent chemo-radiotherapy in patients with 2018 FIGO IIICr stage cervical cancer[J]. *Eur J Radiol*, 2021, 141(1): 1-12.

[30] Meyer HJ, Wienke A, Surov A. Pre-treatment Apparent Diffusion Coefficient Does Not Predict Therapy Response to Radiochemotherapy in Cervical Cancer: A Systematic Review and Meta-analysis[J]. *Anticancer Res*, 2021, 41(3): 1163-1170.

(收稿日期: 2022-09-25)

(校对编辑: 朱丹丹)

(上接第115页)

同区域会出现不同的形态学改变(肝叶增大或萎缩), 可以判断这种区域性差异是肯定存在的, 并且与肝内血流动力学的改变密切相关^[20-22]。

本研究存在一定局限性: 一、本研究属于回顾性分析, 存在不可避免的选择性偏倚; 二、纳入的病例数较少且来源于单中心; 三、本研究使用单一浓度对比剂, 不同浓度对比剂可能造成fECVs诊断阈值发生改变。因此, 未来需要大样本及不同浓度对比剂对比研究, 以提高fECVs的诊断性能。四、还需要更多的前瞻性研究对本研究中的联合应用模型进行验证。

综上所述, 在慢性丙型肝炎管理过程中, 显著肝纤维化、肝硬化是非常重要的两个节点。在慢性丙型肝炎的进展过程中, 肝左内叶及右前叶发生纤维化要早于肝脏其他区域。fECVs可以作为一种有效无创性手段评估慢性丙型肝炎肝纤维化程度, 如果联合APRI其诊断价值更高, 对抗病毒方案执行时机的选择、方案的制定及改善预后、长期获益具有重要的临床指导意义。

参考文献

[1] 中华医学会肝病学会, 中华医学会感染病学分会. 丙型肝炎防治指南(2019年版)[J]. *中华传染病杂志*, 2020, 38(1): 9-28.

[2] Yoon JH, Lee JM, Klotz E, et al. Estimation of hepatic extracellular volume fraction using multiphase liver computed tomography for hepatic fibrosis grading[J]. *Invest Radiol*, 2015, 50(4): 290-296.

[3] WHO guidelines approved by the guidelines review committee. Guidelines for the screening, care and treatment of persons with HIV/HCV coinfection[J]. Geneva: World Health Organization, 2014.

[4] Bandula S, Banyersad SM, Sado D, et al. Measurement of tissue interstitial volume in healthy patients and those with amyloidosis with equilibrium contrast enhanced MR imaging[J]. *Radiology*, 2013, 268(3): 858-864.

[5] Wai CT, Greenon JK, Fontana RJ, et al. A simple non-invasive index can predict both significant fibrosis and cirrhosis in patients with chronic hepatitis C[J]. *Hepatology*, 2003, 38(2): 518-526.

[6] 中华医学会肝病学会, 中华医学会消化病学分会, 中华医学会感染病学分会. 肝纤维化诊断及治疗共识(2019年)[J]. *临床肝胆病杂志*, 2019, 35(10): 2163-2172.

[7] 盛若凡, 金开璞, 汪承青, 等. 磁共振成像细胞外容积对乙型肝炎肝纤维化的诊断价值[J]. *中华肝脏病杂志*, 2018, 26(9): 650-653.

[8] 隋愿, 李玉舟, 李依明. CT影像下肝细胞外基质体积分数对患者肝脏纤维化的评估效果[J]. *肝脏*, 2019, 24(3): 289-291.

[9] 皇甫彤, 王伟红, 何莹, 等. 初次治疗未治愈丙型肝炎患者远期预后的影响因素及预测指标探讨[J]. *山东医药*, 2018, 58(45): 71-74.

[10] 叶向阳, 邱荣仙, 何雄志, 等. APRI和FIB4在慢性丙型肝炎肝纤维化诊断中的应用[J]. *分子诊断与治疗杂志*, 2020, 12(12): 1657-1660.

[11] Dong X, Wu Z, Zhao H, et al. Evaluation and comparison of thirty noninvasive models for diagnosing liver fibrosis in Chinese hepatitis B patients[J]. *J Viral Hepat*, 2019, 26(2): 297-307.

[12] 安红杰, 徐金凤, 耿 华, 等. FibroScan肝硬度检测和APRI评估慢性丙型肝炎患者肝纤维化程度价值比较[J]. *实用肝脏病杂志*, 2021, 24(4): 492-495.

[13] 王照瑶, 刘宁, 文凤, 等. 不同肝病基础乙肝相关原发性肝癌细胞癌AST/ALT和AFP的表达水平差异及临床应用评价[J]. *胃肠病学和肝病学杂志*, 2021, 30(11): 1234-1239.

[14] 隋愿, 李玉舟, 李依明. CT影像下肝细胞外基质体积分数对患者肝脏纤维化的评估效果[J]. *肝脏*, 2019, 24(3): 289-291.

[15] Zissen MH, Wang ZJ, Yee J, et al. Contrast-enhanced CT quantification of the hepatic fractional extracellular space: correlation with diffuse liver disease severity[J]. *AJR Am J Roentgenol*, 2013, 201(6): 1204-1210.

[16] 周莹, 陈娇, 叶龙, 等. CT测量肝外基质体积分数评估慢性乙型肝炎患者肝纤维化临床应用研究[J]. *实用肝脏病杂志*, 2020, 23(4): 492-495.

[17] Fukuda W, Hanyu T, Katayama M, et al. Risk stratification and clinical course of hepatitis B virus reactivation in rheumatoid arthritis patients with resolved infection: final report of a multicenter prospective observational study at Japanese Red Cross Hospital[J]. *Arthritis Res Ther*, 2019, 21(1): 255.

[18] Ozaki K, Matsui O, Kobayashi S, et al. Selective atrophy of the middle hepatic venous drainage area in hepatitis C-related cirrhotic liver: morphometric study by using multidetector CT[J]. *Radiology*, 2010, 257: 705-714.

[19] 祁红艳, 黄红刚, 刘艳红, 等. 磁共振DWI结合胆囊窝扩大的MRI征象对肝硬化早期的诊断研究[J]. *影像研究与医学应用*, 2019, 9(3): 228-230.

[20] Ozaki K, Kozaka K, Kosaka Y, et al. Morphometric changes and imaging findings of diffuse liver disease in relation to intrahepatic hemodynamics[J]. *Jpn J Radiol*, 2020, 38(9): 833-852.

[21] 孟玉丽, 张红旭, 王斌, 等. MSCT灌注成像对肝纤维化、肝硬化的鉴别诊断价值分析[J]. *中国CT和MR杂志* 2022, 20(3): 83-85.

[22] 史景璐, 彩超和CT在慢性肝纤维化患者肝脏形态学变化评估中的应用效果观察[J]. *中国CT和MR杂志* 2021, 19(5): 51-53.

(收稿日期: 2022-08-25)

(校对编辑: 朱丹丹)